



OGM dans les LAL pédiatriques ou comment bien vivre le protocole A2G

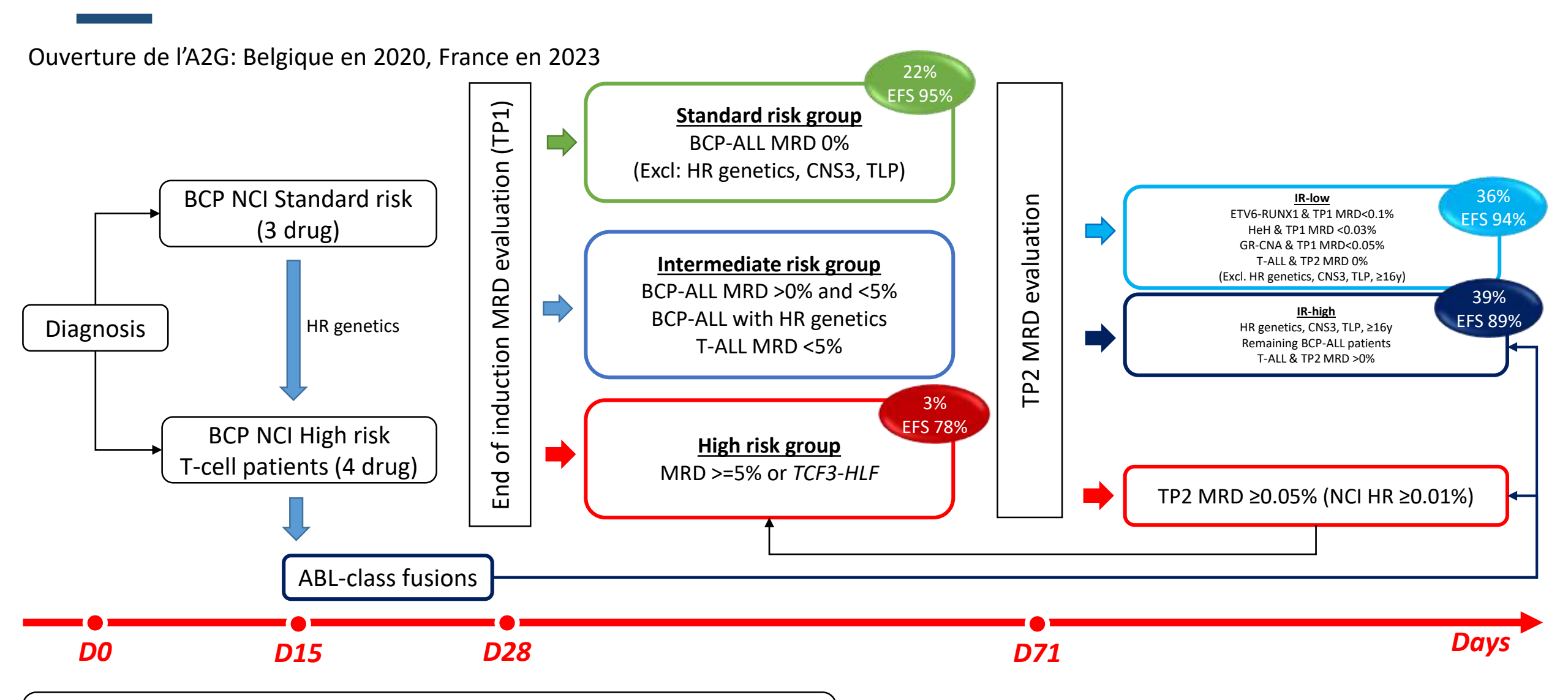
13/11/2024 Hélène Guermouche Barbara Dewaele Nasséra Abermil







Risk stratification algorithm for the ALLTogether1 trial



MRD 0%: undetectable MRD by IG/TCR PCR;

High risk genetics: KMT2A/MLL fusions, near haploidy, low hypodiploidy, iAMP21.

ABL-class: ABL1, ABL2, PDGFRB, CSF1R fusions

Diagnostic cytogénétique des LAL

SCREENING FISH RECOMMANDATIONS DU GFCH

(Caryotype non obligatoire)

Panel 1 BCR::ABL1 ETV6::RUNX1 LAL-B KMT2A TCF3

ABL class: ABL1 ABL2 PDGFRB et CSF1R IG::MYC

Panel 2

MYC ou IGH::MYC

Panel 3

Si MYC-R:

- BCL2
- BCL6

Si *IGH* négatif :

- IGK
- **IGL**

Panel 1

BCR::ABL1 KMT2A

LAL-T

ABL class

Panel 2

Avec 0,5ml de moelle osseuse!

Marina LAFAGE-POCHITALOFF et Wendy CUCCUINI

Stratégie d'évaluation génétique au niveau européen

Genetic Screening Methods	UKALL	NOPHO	France BSPHO	РМС	BFM CZE	Germany – BFM/A2G	Austria	AEIOP
G-banding?	A few labs	Yes	Yes	No	No	No	no	no
Preferred method for detecting								
Ploidy subgroups	SNP array	SNP array	Karyotype (DNAseq for masked hypo)	SNP array	SNP array	aCGH+SNP	SNP-array	DNA Index, +Cytogenetics/F ISH/MLPA*
DNA index?	No	Yes	Not anymore	No	Yes	No	No	Yes
Gene fusions	FISH/Fusion Panel	FISH/RNAseq	FISH + targeted RNAseq or RT-MLPA **	RNA-sequencing	qPCR + WTS	targeted RNASeq	FISH/PCR/NGS	RNA-Seq (+ conventional RT-PCR for main fusions)
Positional trans (e.g. IG::MYC)	FISH	FISH	FISH	WTS	WTS	FISH	FISH	WTS
Copy Number Alterations	SNP array	SNP array	MLPA, DNAseq, OGM (2)	SNP-array	SNP array	aCGH+SNP	SNP-array	digitalMLPA
RNA seq : whole transcriptomic v fusion panel v not used	Fusion panel	WTS	Targeted (+complete) RNAseq	WTS	WTS	fusion panel	Both	WTS
WGS	England only (available to all - uptake rising)	A few centres, research only	National initiative but not systematic	Sometimes: if genomic bp needed for MRD	Rarely, research only	selected cases	no	no

Source: adapted from iBFM Bergamo janvier 2024

^{*} one additional mandatory if 0.8<DNAi>1.0; ** (plus OGM now replacing FISH)

Diagnostic cytogénétique des LAL à Louvain

> Am J Hematol, 2022 Feb 4. doi: 10.1002/ajh.26487. Online ahead of print.

Optimizing the Diagnostic Workflow for Acute Lymphoblastic Leukemia by Optical Genome Mapping

```
Katrina Rack <sup>1</sup>, Jolien De Bie <sup>1</sup> <sup>2</sup>, Geneviève Ameye <sup>1</sup>, Olga Gielen <sup>2</sup> <sup>3</sup>, Sofie Demeyer <sup>2</sup> <sup>3</sup>, Jan Cools <sup>2</sup> <sup>3</sup> <sup>4</sup>, Kim De Keersmaecker <sup>4</sup> <sup>5</sup>, Joris R Vermeesch <sup>6</sup> <sup>7</sup>, Johan Maertens <sup>8</sup>, Heidi Segers <sup>4</sup> <sup>9</sup>, Lucienne Michaux <sup>1</sup>, Barbara Dewaele <sup>1</sup>

Affiliations + expand

PMID: 35119131 DOI: 10.1002/ajh.26487
```

Validation de l'OGM dans les LAL à Louvain

- N=41: 29 cas de LAL-B et 12 de LAL-T au moment du diagnostic
- L'âge: 26 enfants, 15 adultes
- Sélection : cas rétrospectifs sélectionnés (n=38) et cas prospectifs (n=3)
- Comparaison: résultats OGM par rapport aux résultats obtenus avec le "panel de test classique"

"Panel de test classique" dans LAL-B et -T à Louvain						
Caryotype Conventionnel	Aberrations déte	MLPA: alterations du nombre de copies impliquant:	PCR			
	LAL-B	LAL-T	LAL-B	LAL-B	LAL-T	
Groupes de ploïdie d'importance clinique:	BCR::ABL1	<i>NUP214::ABL1 (BCR::ABL1</i> is rare)	EBF1			
Hyperdiploïdie élevée (HeH ; 51-67 chromosomes)	<25y: ETV6::RUNX1	TRA/TRD/TRB	IKZF1			
Faible hypodiploïdie (HoL ; 30-39 chromosomes)	KMT2A	KMT2A	CDKN2A/2B	clonalité	clonalité	
Quasi haploïdie (NH ; 25-29 chromosomes)	TCF3	TLX3	PAX5			
	CRLF2	TLX1	ETV6	BCR::ABL1	STIL::TAL1	
Translocations récurrentes	iAMP21	TAL1	BTG1			
_	ABL-class fusions (ABL1, ABL2, CSF1R, PDGFRB)	LMO2	RB1 ERG		TLX2	
	,	PICALM				
		MYC	PAR1 region			
FISH en cascade est utilisé.						

Validation de l'OGM dans les LAL à SAT

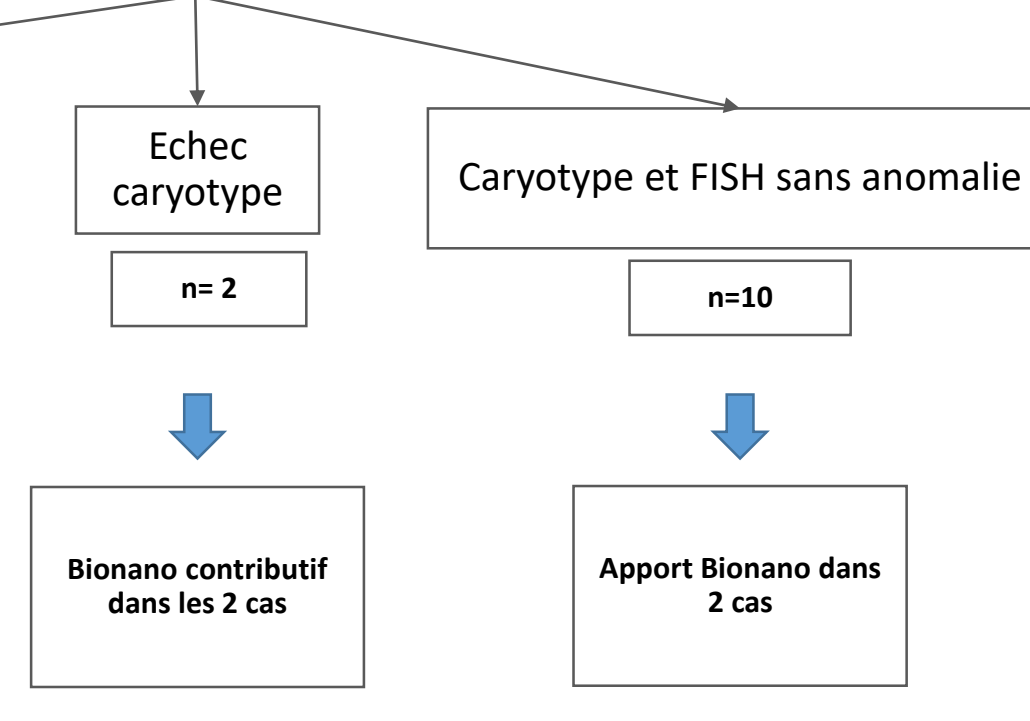
Analyse rétrospective et prospective de leucémies aiguës pédiatriques
(18 mois à 16 ans) N=100 : 71 LAL-B, 15 LAL-T, 14 LAM

Succès n= 100

Remaniement primaire identifié en cytogénétique conventionnelle (n=87)

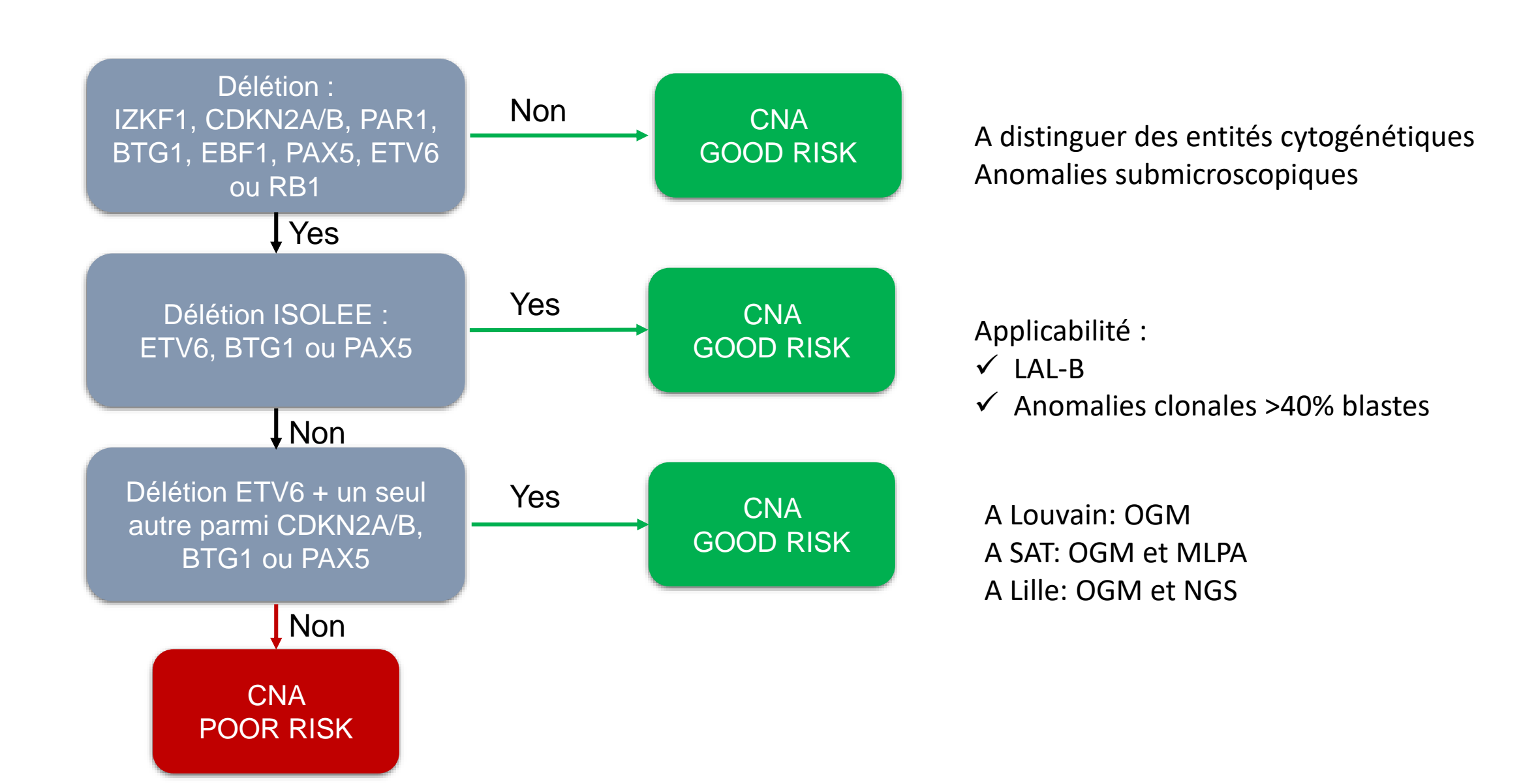
100% concordance

	Anomalies caryo	Anomalies caryotype +/- FISH		
Nombre	Hyperploïdie	Hyperploïdie		
Nombre	Hypoploïdie	Hypoploïdie		
Structure	TR	t(9;22)	√	
		t(12;21) ETV6::RUNX1	V	
		t(1;19)	√	
		t(8;21)	√	
		TLX1-TCRAD	V	
	Dicentrique	Dicentrique		
	Inversion	Inversion		
	Isochromosome	Isochromosomes		
	Déletions/Duplic	Déletions/Duplications		
	lamp(21)	lamp(21)		



+ Réalisation d'un CQIL avec Lille

Algorithme pour évaluation du profil CNA



Détection des CNA par OGM à Louvain

- résultat informatif: 100% des cas de LAL
- + anomalies submicroscopiques: excellente concordance avec MLPA (27/27)

Supplementary Table S6: Comparison of OGM and MLPA

	Number of p			
Submicroscopic deletion with clinical relevance in B-ALL	MLPA	OGM	Concordance	
no submicroscopic deletions detected	10*	12	10/10	
EBF1/5q33.3	0	0	100%	
IKZF1/7p12.2	4	4	100%	
CDKN2A/2B/9p21.3	7	7	100%	
PAX5/9p13.2	8	8	100%	
ETV6/12p13.2	8	8	100%	
BTG1/12q21.33-12q22	3	3	100%	
RB1/13q14.2	2	2	100%	
PAR1 region Xp22.33/Yp11.32 [§]	0	0	100%	
Total number of cases with good UKALL CNA profile**	19	21	19/19	
Total number of cases with poor UKALL CNA profile**	8	8	100%	

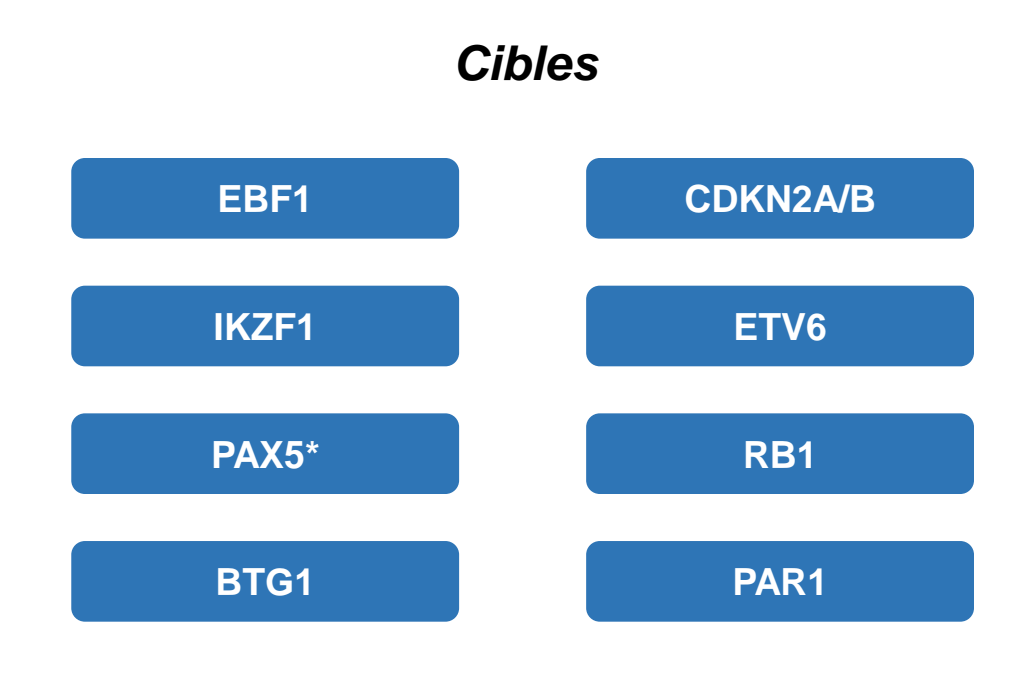
^{*}MLPA could not be performed for 2 cases due to the lack of material. Moreover, in one case with MLPA analysis the blast count was only 16%. OGM did not detect any submicroscopic deletions in these 3 cases.

- 17 profil anormal/10 profil normal
- 2 pt: pas assez de material pour MLPA (OGM: profil normal)
- Les résultats de la MLPA étaient concordants avec les résultat de l' OGM dans 100% des cas (27/27)
- Les délétions génétiques bialléliques ainsi que les délétions en aval de *BTG1* ont été correctement identifiées par les deux techniques.
- La plus petite délétion focale détectée dans la cohorte actuelle à l'aide de l'OGM était une délétion de 17,7 kb des exons 5-7 de IKZF1
- L'attribution du risque à un profil UKALL CNA bon ou mauvais était identique sur la base des résultats de la MLPA et de l'OGM

^{**}Moorman AV, Enshaei A, Schwab C, et al. A novel integrated cytogenetic and genomic classification refines risk stratification in pediatric acute lymphoblastic leukemia. Blood 2014;124(9):1434-1444.

Détection des CNA par OGM à Lille

COMPARAISON AU NGS (n=22 patients)



100% détectées*

*Amplification de *PAX5* manquée par l'algorithme mais détectée manuellement

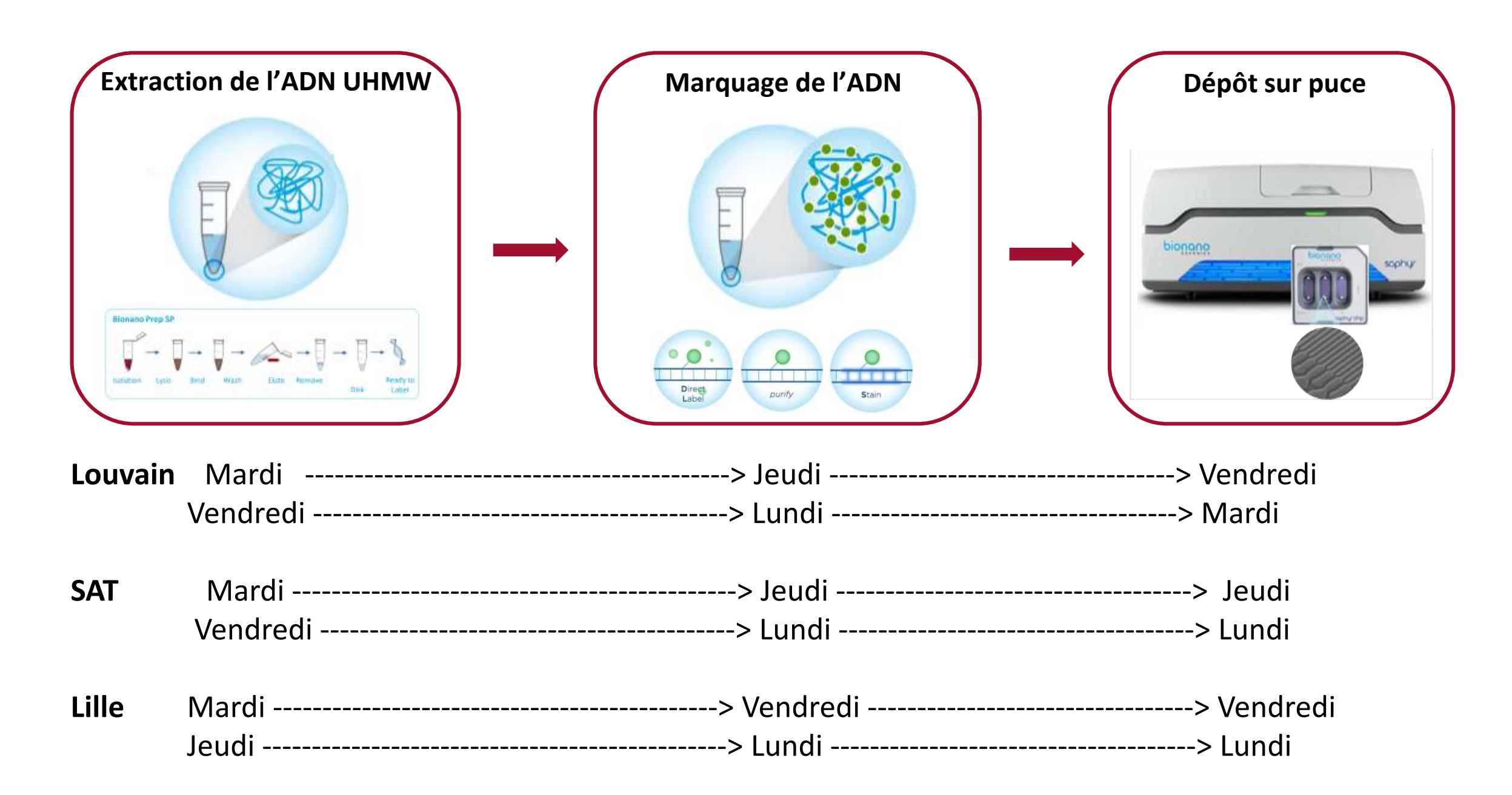
Dans de rares cas, détection d'évènements sous-clonaux par l'OGM:

- ⇒ à rendre même si non pris en compte par le classifier A2G
- ⇒ importance pour l'A2G4R (en cours d'élaboration)

Diagnostic cytogénétique des LAL

"ANCIEN" FLUX LABORATOIRE: LARGE PANEL DE TESTS	NOUVELLE TECHNOLOGIE
Caryotype (14 jours max)	OGM (14j max)
 FISH (jusqu'à 10 expériments) 	Caryotype (14j max)
SNP arrays ou MLPA	FISH BCR::ABL1 (7j max)
 Techniques basées sur la PCR 	FISH KMT2A*
Coûteux	Moins cher
Laborieux (jusqu'à 12 tests)	Flux de travail simplifié (3 tests)
Délai long (jusqu'à 4 semaines)	Délai court (1-2 semaines)
	Augmentation du rendement diagnostique
	*à Lille (<1an)

Organisation

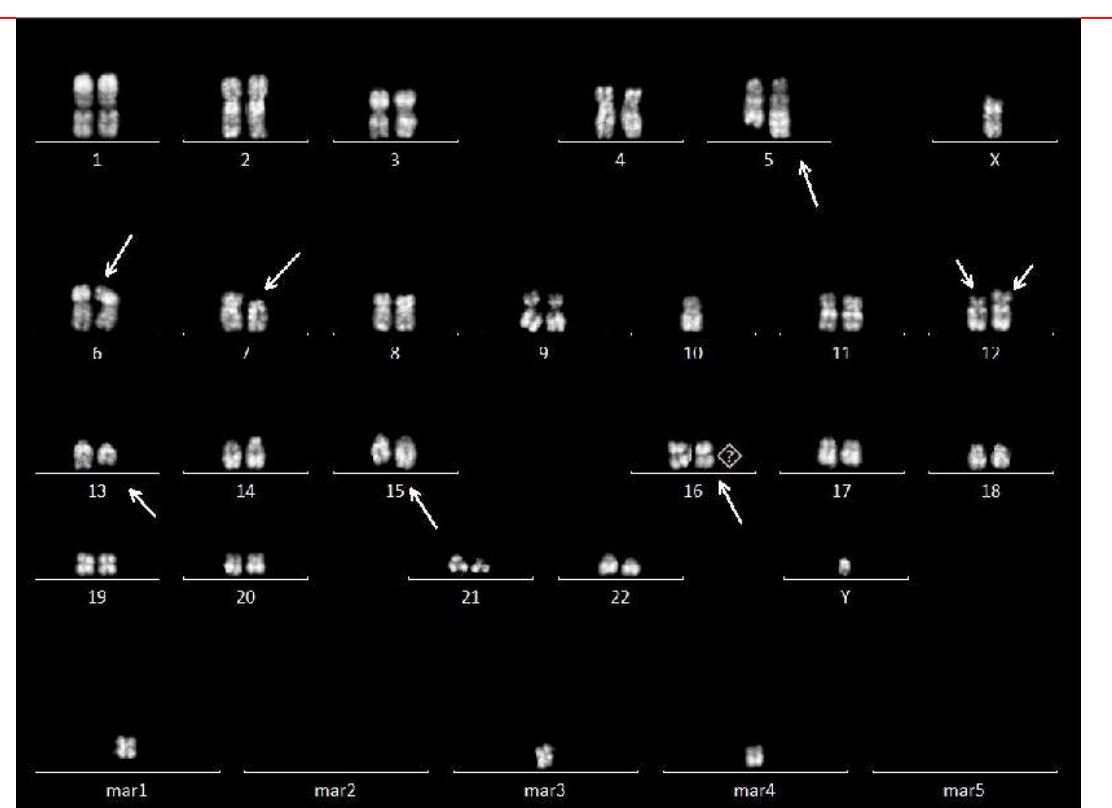


Cas de Louvain

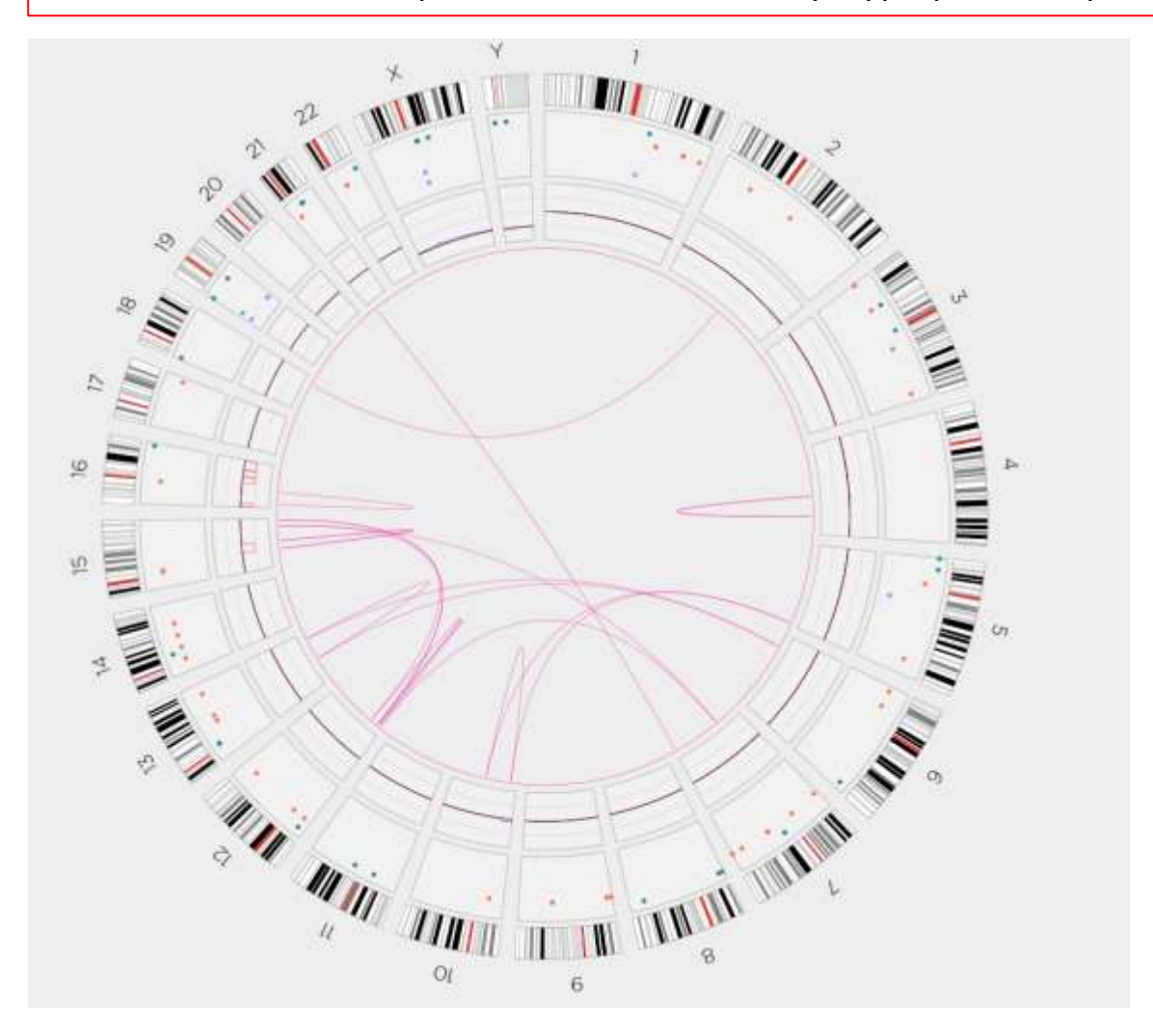
- Garçon, 13 ans
- 90% de blastes dans la moelle osseuse
- Flux: rechute de la LLA-B
- Caryotype:

39-48,XY,der(5)t(5;?10)(q3?;q?),?t(6;13)(p21;q14),del(7)(p11) or der(7)t(7;15)(p11;q26),add(12)(p13),del(12)(p12),add(15)(q26) or der(15)t(7;15)(p11;q26),-16[3],?add(16)(p13)[7],+mar1,+mar2[3],inc[cp10]//46,XX[4] In total: 4/80 mitoses with donor hematopoiesis

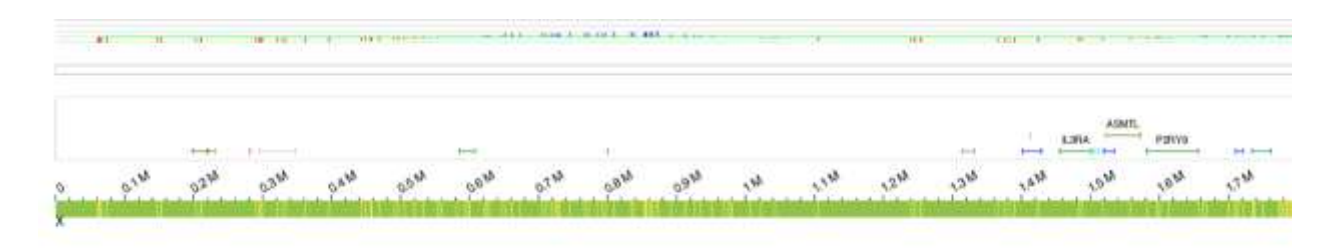
Conclusion: aberrations persistentes avec évolution clonale



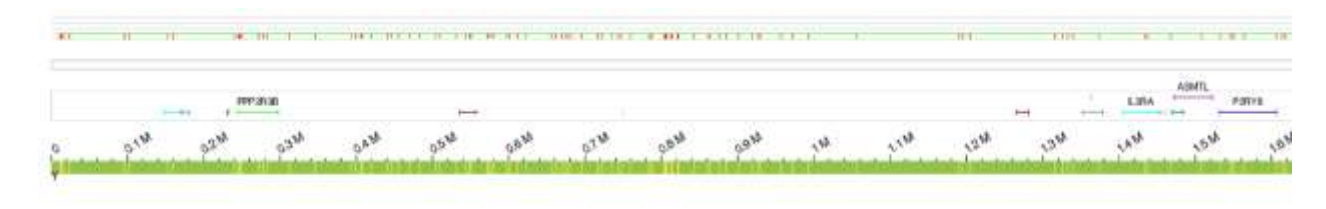
- Garçon, 13 ans
- 90% de blastes dans la moelle osseuse
- Flux: rechute de la LLA-B
- OGM/Bionano: Pipeline Rare variant: caryotype pseudodiploïde très complexe comparable au caryotype conventionnel.



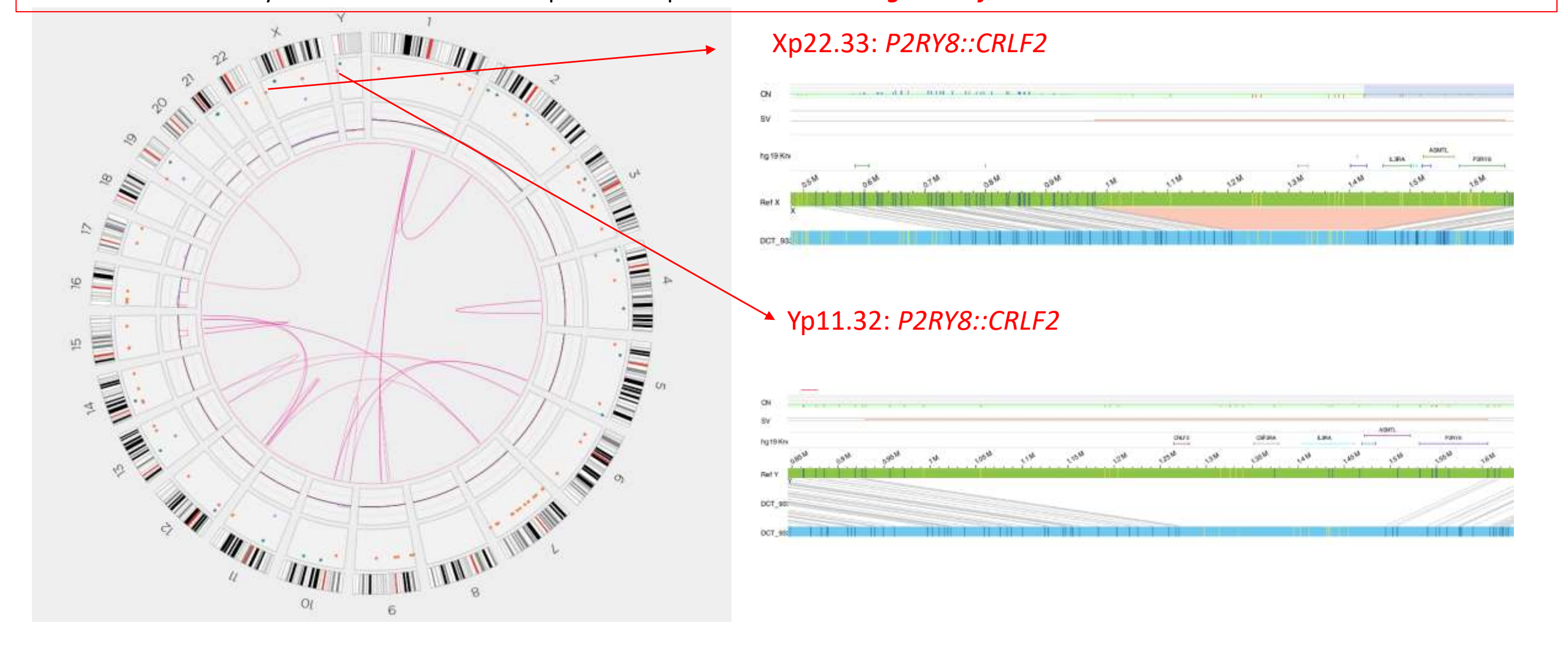
Xp22.33: tout à fait normal



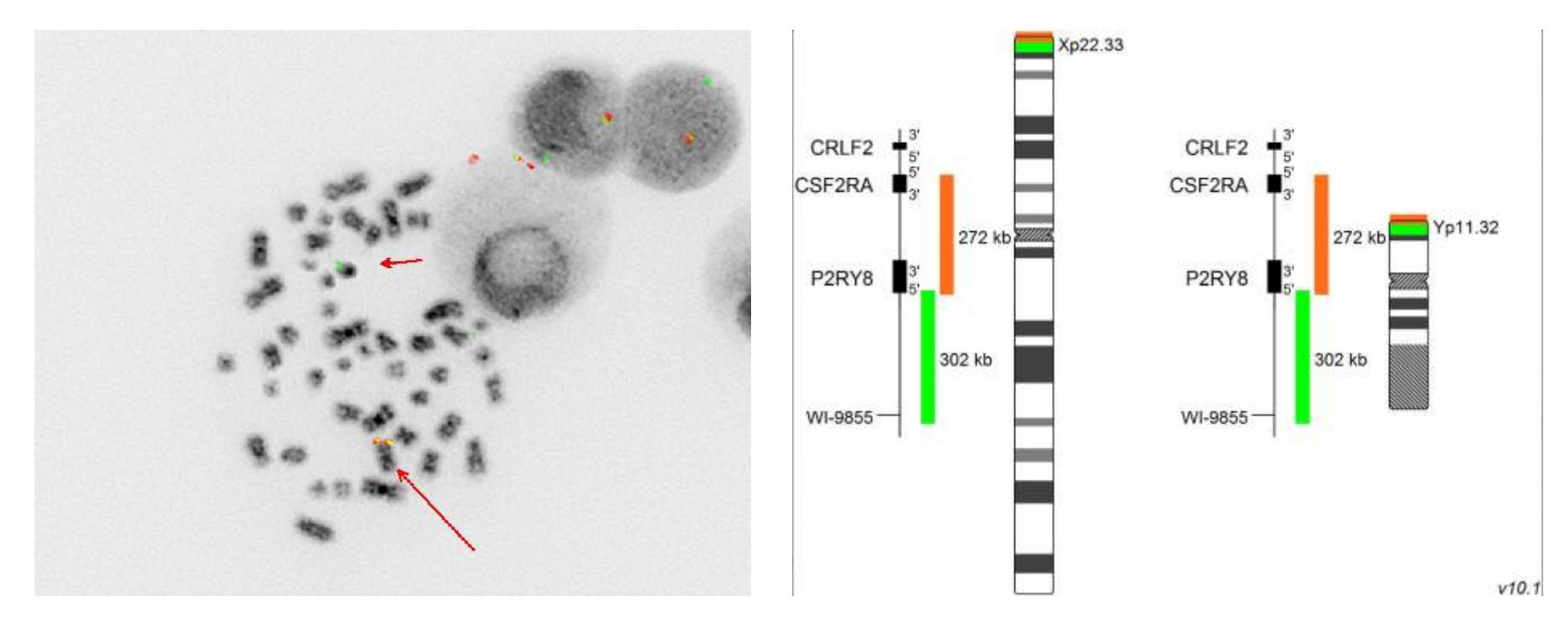
Yp11.32: tout à fait normal



- Garçon, 13 ans
- 90% de blastes dans la moelle osseuse
- Flux: rechute de la LLA-B
- OGM/Bionano: De Novo Assembly pipeline: caryotype pseudodiploïde très complexe comparable au caryotype conventionnel.
- De Novo Assembly détecte un deletion sur Xp22.33 et Yp11.32: résultant en gène de fusion P2RY8::CRLF2!



- Garçon, 13 ans
- 90% de blastes dans la moelle osseuse
- Flux: rechute de la LLA-B
- La fusion P2RY8::CRLF2 a été confirmée par FISH



FISH à l'aide de la sonde: XL CRLF2 DC BA [Xp22-Yp11, Metasystems] sur 200 noyaux et 10 métaphases:

- un réarrangement déséquilibré de Yp11/CRLF2, avec perte du signal 5'cen CRLF2 dans ~90% des noyaux et 7/10 métaphases
- 3/10 métaphases avec caryotype féminin (cellules du donneur)
- → La FISH confirme la délétion cryptique cytogénétique sur Yp11, observée avec OGM et qui a abouti à la fusion

P2RY8::CRLF2

- Garçon, 13 ans
- 90% de blastes dans la moelle osseuse
- Flux: rechute de la LLA-B
- La fusion P2RY8::CRLF2 a été confirmée par FISH
- Entité de l'OMS: "B-lymphoblastic leukaemia/lymphoma, BCR-ABL1-like", pronostic défavorable
- Remarque importante: les régions Xp22.33 et Yp11.32 nécessitent une inspection visuelle en DE NOVO dans TOUS les cas de LAL: parfois le logiciel n'appelle pas la fusion P2RY8::CRLF2 bien qu'elle soit visible

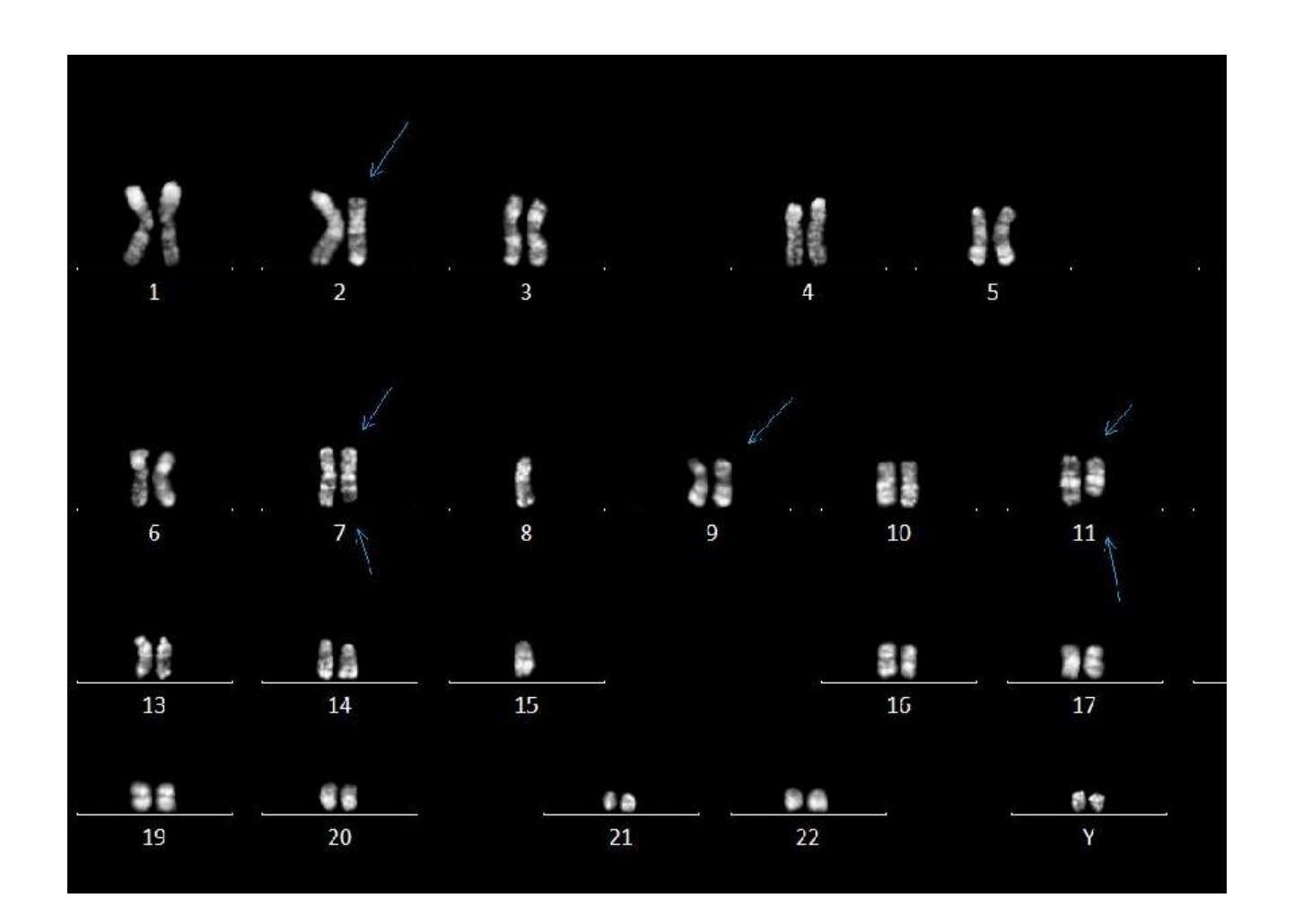
Message à retenir: Analyse: examen des variantes

Critères pour l'examen manuel/visuel:

- Vérifier <u>manuellement</u> dans le logiciel tous les SVs retenus par les filtres
 - Confirmer les SV réels
 - Éliminer les artefacts et les faux positifs
- => Raisons des faux positifs/artefacts : mauvais alignement dû à :
- lacunes en bases N dans le génome de référence
- duplications segmentaires
- les séquences répétitives (par exemple, les transposons)
- centromères et télomères : régions à caractère hautement répétitif

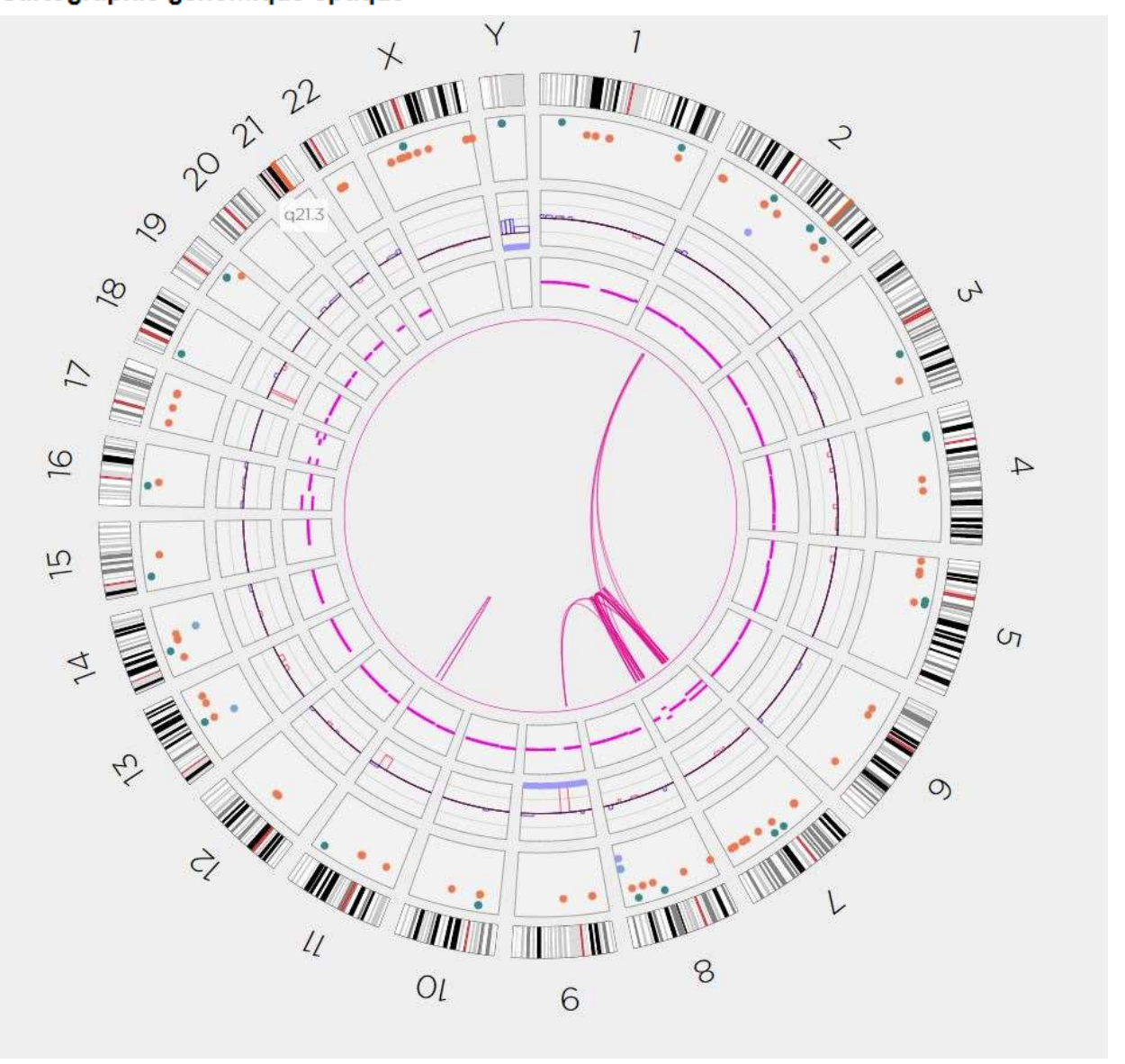
Exemple 2: LAL-B: caryotype complexe

- Homme, 19 ans, LAL-B, traité selon GRAALL
- Caryotype: Culture de 1 jour non stimulée (non synchronisée)
 47,XYY,der(2)t(2;7)(p16;p14),der(7)t(2;7)t(7;9)(q31;p21),der(9)t(7;9),del(11)(q21q23)[9]/47,XYY[2]
 - => Clone complexe (4 anomalies sans tenir compte du +Y, 5 anomalies en tenant compte du +Y possiblement constitutionnel).
- FISH: LSI BCR (SG) / ABL (SO) (DC DF)[9q34/22q11, Vysis] : normal: nuc ish(ABL1,BCR)x2[198]



Homme, 19 ans, LLA-B, traité selon GRAALL

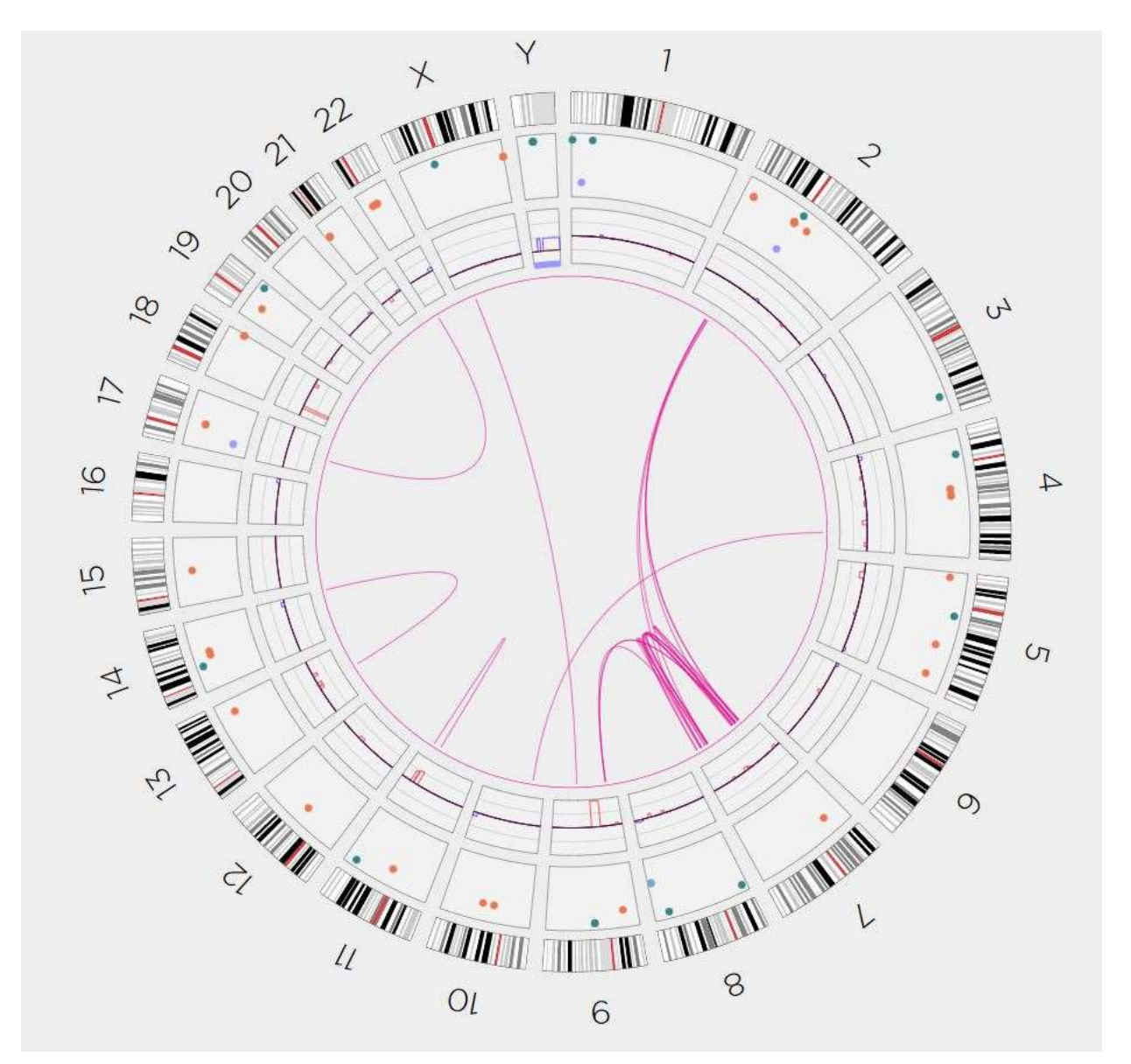
Cartographie génomique optique



De Novo Assembly

Homme, 19 ans, LLA-B, traité selon GRAALL

Cartographie génomique optique



Rare Variant Pipeline

Homme, 19 ans, LLA-B, traité selon GRAALL

Cartographie génomique optique

```
ogm[GRCh38]
(Y)x2,
t(2;7)(p16.2;p14.3)(53982547;31816640),
t(2;7)(p16.1;q33)(54705979;137324244),
2p16.1p16.1(58619577 60463417)x1,
t(2;7)(p16.1;q31.31)(58611548;119981151),
t(2;7)(p16.1;p12.2)(60477921;49679087), \[BCL11A]
5q33.3(158751897_159023139)x1~2, [EBF1 exon 7-10; NM_024007.5]
t(7;7)(p15.1;p14.1)(28234816;39497866),
t(7;7)(p14.3;p14.1)(30123721;41391798),
t(7;7)(p14.3;q35)(31648985;147710505),
t(7;7)(p14.1;q31.31)(37981549;120157073),
t(7;7)(p14.1;q31.31)(38429720;120132705),
t(7;9)(p14.1;p21.3)(40602185;22210214),
t(7;7)(p12.3;q36.1)(45899944;149162111),
t(7;7)(p12.3;q33)(47030599;135687349),
t(7;7)(p12.3;q33)(48503321;136420225),
7p12.2p12.1(49682157_51558298)x1, \[IKZF1]
t(7;7)(p12.1;q31.31)(51562833;120481137),
t(7;7)(q31.31;q31.33)(119790853;127002934),
t(7;9)(q31.32;p21.3)(122621988;21801008),
t(7;7)(q31.33;q34)(127439844;139378793),
9p21.3(21975987_22009703)x1, \[CDKN2B; NM_004936.4]
11g22.1g23.3(98216016 115145088)x1, \[BIRC2, BIRC3, ATM]
```

=> Chromoanagenesis du 7

Homme, 19 ans, LLA-B, traité selon GRAALL

Cartographie génomique optique

Marqueur	Résultat	Aberration spécifique	Stratification de risque	Remarque
Ploïdie	faiblement hyperdiploïde	+Y		
iAMP21	absente			
KMT2A (réarrangement)	absent			
BCR::ABL1 (fusion)	absente			
NUP214::ABL1 (fusion)	absente			
ETV6::RUNX1 (fusion)	absente			
TCF3::HLF (fusion)	absente			
TCF3::PBX1 (fusion)	absente			
fusions "ABL-class" (ABL1, ABL2, CSF1R, PDGFRB)	absentes			
CRLF2 (fusion)	absente			
MYC (fusion)	absente			
TRA/B/D (réarrangement)	absent			
TLX3 (HOX11L2) (fusion)	absente			
PICALM (MLLT10) (fusion)	absente			
Changement de nombre de copies des gènes BTG1, CDKN2A/B, EBF1, ETV6, IKZF1, ERG, PAR1, PAX5, RB1	présent	délétion complète de IKZF1 (1.9 Mb), délétion de EBF1 exon 7-10 (258 kb) et délétion complète de CDKN2B (34 kb)	"Poor risk UKALL CNA profile"	
STIL::TAL1 (fusion)	absente			

Résultat

La cartographie génomique optique (OGM) montre un caryotype masculin très complexe avec anomalies compatibles avec celles décrites au caryotype conventionnel, notamment gain du chromosome Y (constitutionnel ou acquis) et nombreux remaniements complexes impliquant les chromosomes 2, 7 et 9 (chromoplexie?, chromothripsie du chromosome 7?). Les gains et les pertes résultant de ces nombreux réarrangements n'ont pas été notés parce qu'ils sont faibles et nombreux.

L'OGM montre également une délétion de 11q.

Elle révèle par ailleurs une perte mono-allélique de l'entièreté des gènes *IKZF1* et *CDKN2B* ainsi qu'une délétion de EBF1 exon 7-10 . Poor risk UKALL CNA profile.

- Homme, 19 ans, LLA-B, traité selon GRAALL
- Un laboratoire externe impliqué dans la recherche sur les patients atteints de LAL au GRAALL a trouvé une surexpression de CRLF2 chez ce patient pour lequel nous avons effectué une OGM dans le cadre d'un diagnostic de routine (au moment du diagnostic). Dans l'échantillon diagnostique, l'OGM et le caryotype conventionnel ont montré un profil complexe.
- Un réarrangement CRLF2 est rare mais récurrent dans la LAL et conduit à la classification suivante : Entité de l'OMS « LAL-B avec caractéristiques BCR::ABL1-like ».
- Il existe plusieurs types de réarrangements *CRLF2*, notamment le *P2RY8::CRLF2* causé par une délétion sur le chromosome X. En outre, la translocation de *CRLF2* avec *IGH* est également récurrente.
- En général, la région où se trouve le gène *CRLF2* est difficile à analyser avec la OGM en raison de la faible couverture. Conformément à notre SOP, cette région (*CRLF2*) est vérifiée visuellement par les deux lecteurs.
- => Dans ce cas, aucune délétion restreinte n'a été trouvée dans cette région, et aucune VS liée à CRLF2 n'a été trouvée dans les fichiers Excel édités.

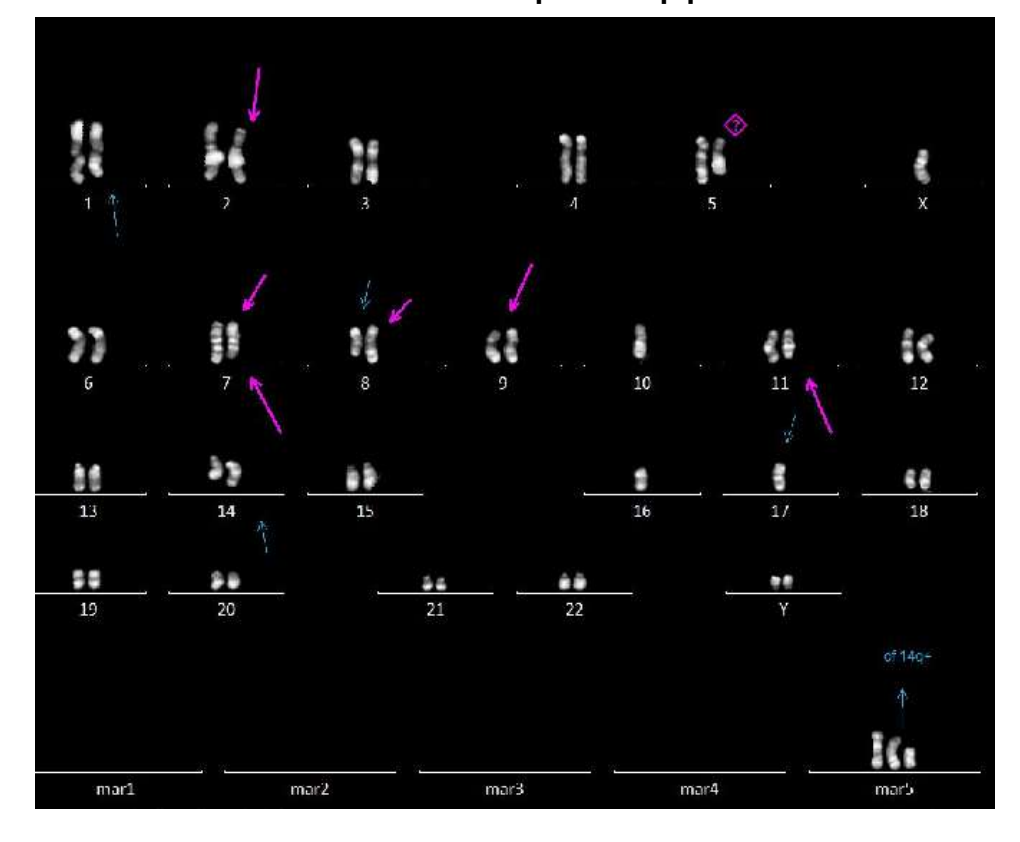
- Homme, 19 ans, LLA-B, traité selon GRAALL
- Cependant, le patient a rechuté, ce qui a conduit à une nouvelle analyse.
- Après cette réanalyse, la thérapie peut maintenant être ajustée en cas de rechute
- Caryotype à la rechute: Culture de 1 jour non stimulée (non synchronisée):

47,XYY,der(2)t(2;7)(p16;p14),der(7)t(2;7)t(7;9)(q31;p21),der(9)t(7;9),del(11)(q21q23),inc[2]/

47,sl,t(6;6)(q22;q26),del(13)(q13q31)[2]/47,sl,add(14)(q31),-10[3]/47,sl,add(14)(q32),-10[3]

Conclusion: Rechute cytogénétique avec évolution clonale par rapport au 15/2/2023 (+Y possiblement

constitutionnel).



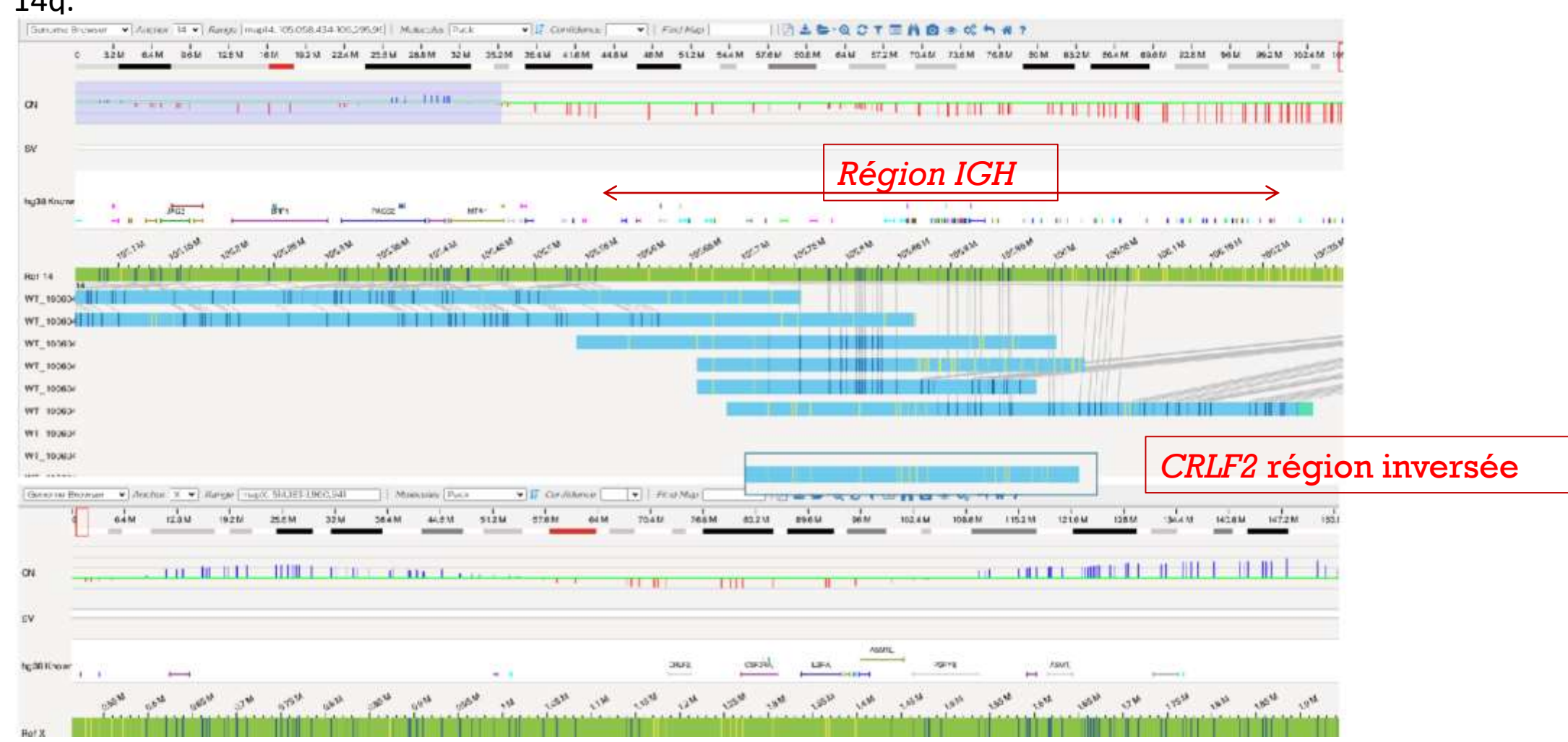
Homme, 19 ans, LLA-B, traité selon GRAALL

Comme la surexpression de *CRLF2* a été détectée dans le laboratoire de recherche et que nous avons également observé, lors de la rechute, un clone dont le caryotype présentait une anomalie dans la région du locus *IGH*

- ⇒ L'OGM au moment du diagnostic a été revu :
 - ⇒ il n'y avait toujours pas de molécules trouvées sur Xp indiquant une translocation
 - ⇒ Par contre, des molécules ont été trouvées sur 14q, dans la région de l'IGH, compatible avec une translocation, mais aucune région n'a été trouvée par le logiciel compatible avec ce modèle de marquage.

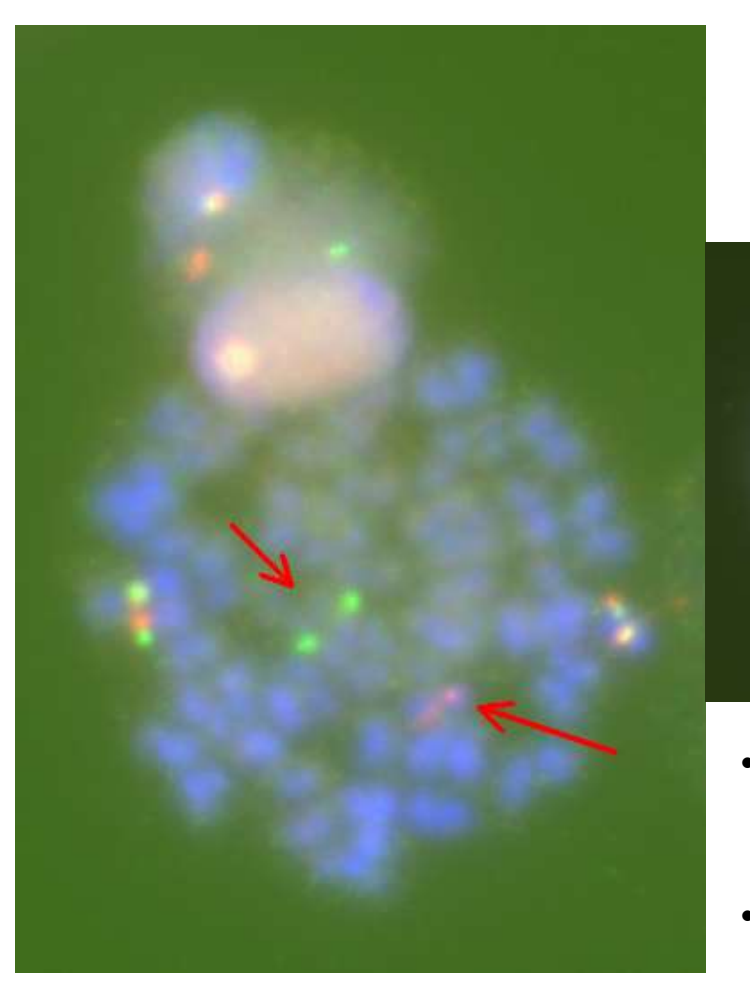
Homme, 19 ans, LLA-B, traité selon GRAALL

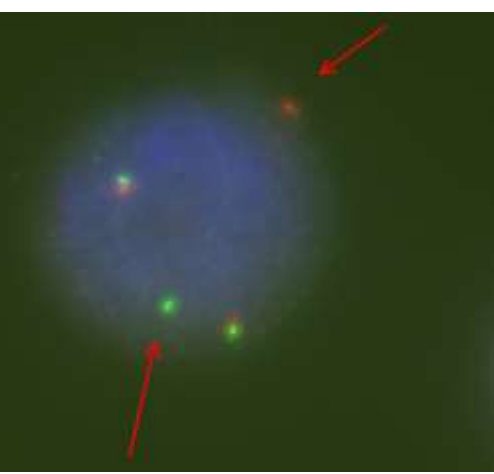
La comparaison manuelle de ces étiquettes avec les étiquettes de la référence sur *CRLF2* montre qu'il y a très probablement une translocation conduisant à *IGH::CRLF2* : voir l'image ci-jointe : le modèle d'étiquette de la référence dans la région de *CRLF2* a été copié et inversé (voir l'image indiquée entre les profils sur Xp et 14q) pour être comparé avec le modèle d'étiquette sur 14q.

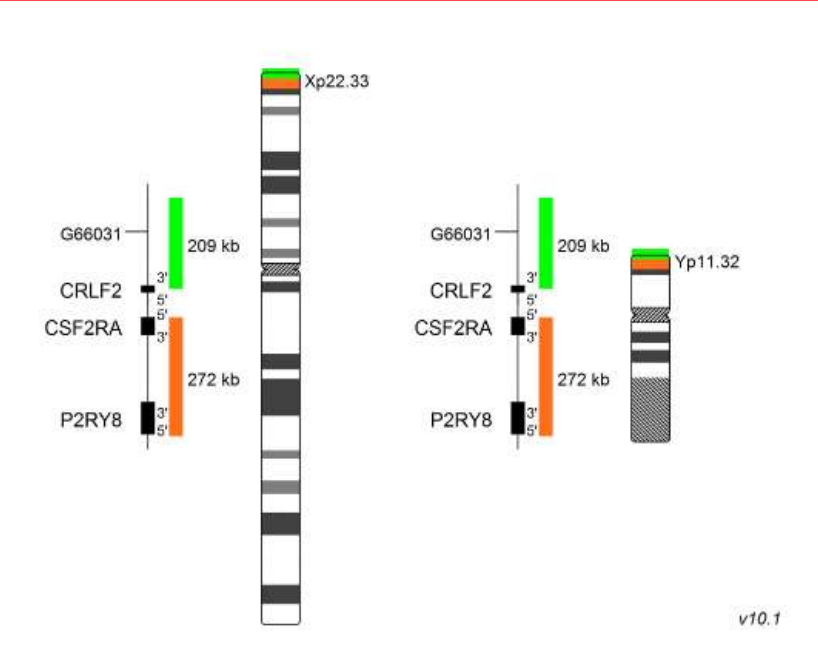


Exemple 2: LAL-B: FISH: CRLF2 BA

- Homme, 19 ans, LLA-B, traité selon GRAALL
- La FISH a également été réalisée pour confirmation. La FISH confirme la fusion IGH::CRLF2.
- Un rapport de correction pour l'OGM et un rapport de FISH supplémentaire ont été envoyés.



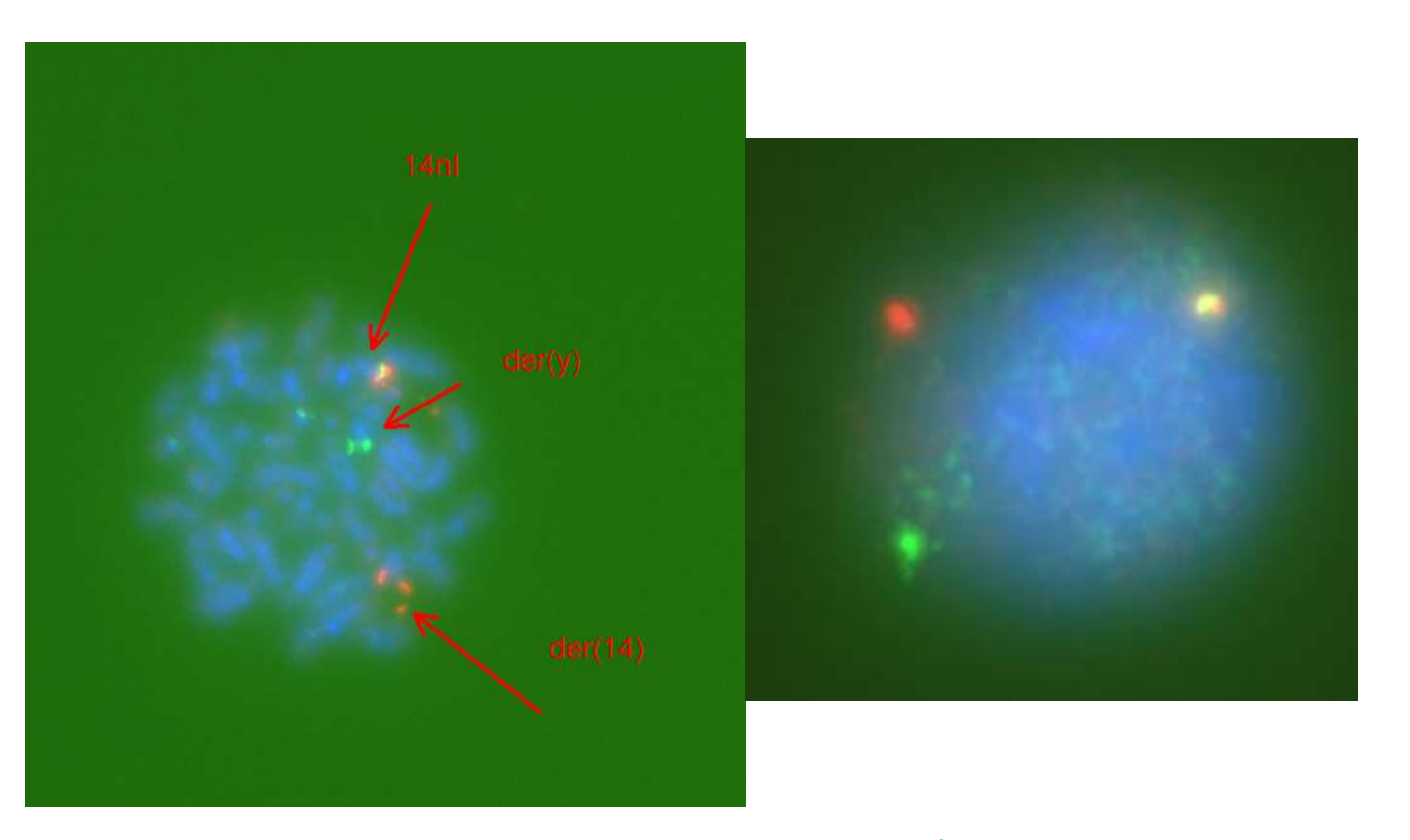




XL CRLF2 (DC BA)[Metasystems]

- Dans les métaphases, la sonde télomérique 3'CRLF2/Yp11 est déplacée sur un der(14)t(Y;14) et la sonde centromérique 5'CRLF2/Yp11 reste en place sur le der(Y)t(Y;14).
- En outre, un signal CRLF2 (non scindé) reste en place sur un chromosome X normal et l'autre signal (non scindé) CRLF2 sur un chromosome Y normal (pour mémoire, ce patient a 2 chromosomes Y).

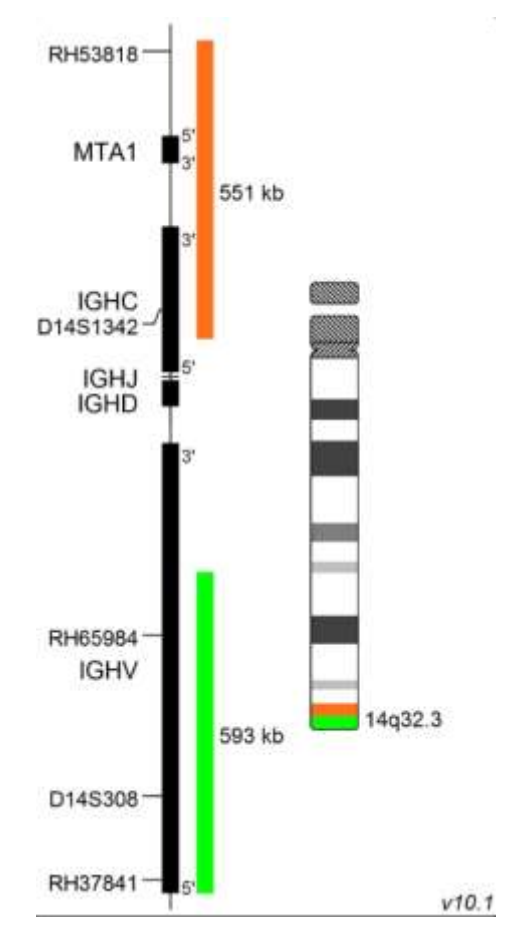
Exemple 2: LAL-B: FISH: IGH BA



- Dans les métaphases, la sonde télomérique 5'IGH/14q32 est déplacée sur le der(Y)t(Y;14) et la sonde centromérique 3'IGH/14q32 reste en place sur le der(14)t(Y;14).
- L'autre signal IGH (non scindé) reste en place sur un chromosome 14 normal. nuc ish(CRLF2x3)(3'CRLF2 sep 5'CRLF2x1)[180/200],(IGHx2)(3'IGH sep 5'IGHx1)[184/100]

Conclusion:

La FISH confirme la présence d'un réarrangement t(Y;14)(p11;q32) résultant d'une fusion IGH::CRLF2. Entité OMS "B-lymphoblastic leukemia/lymphoma, BCR::ABL1-like". Susceptible de répondre à un inhibiteur de tyrosine kinase (par exemple, inhibiteur de JAK2).



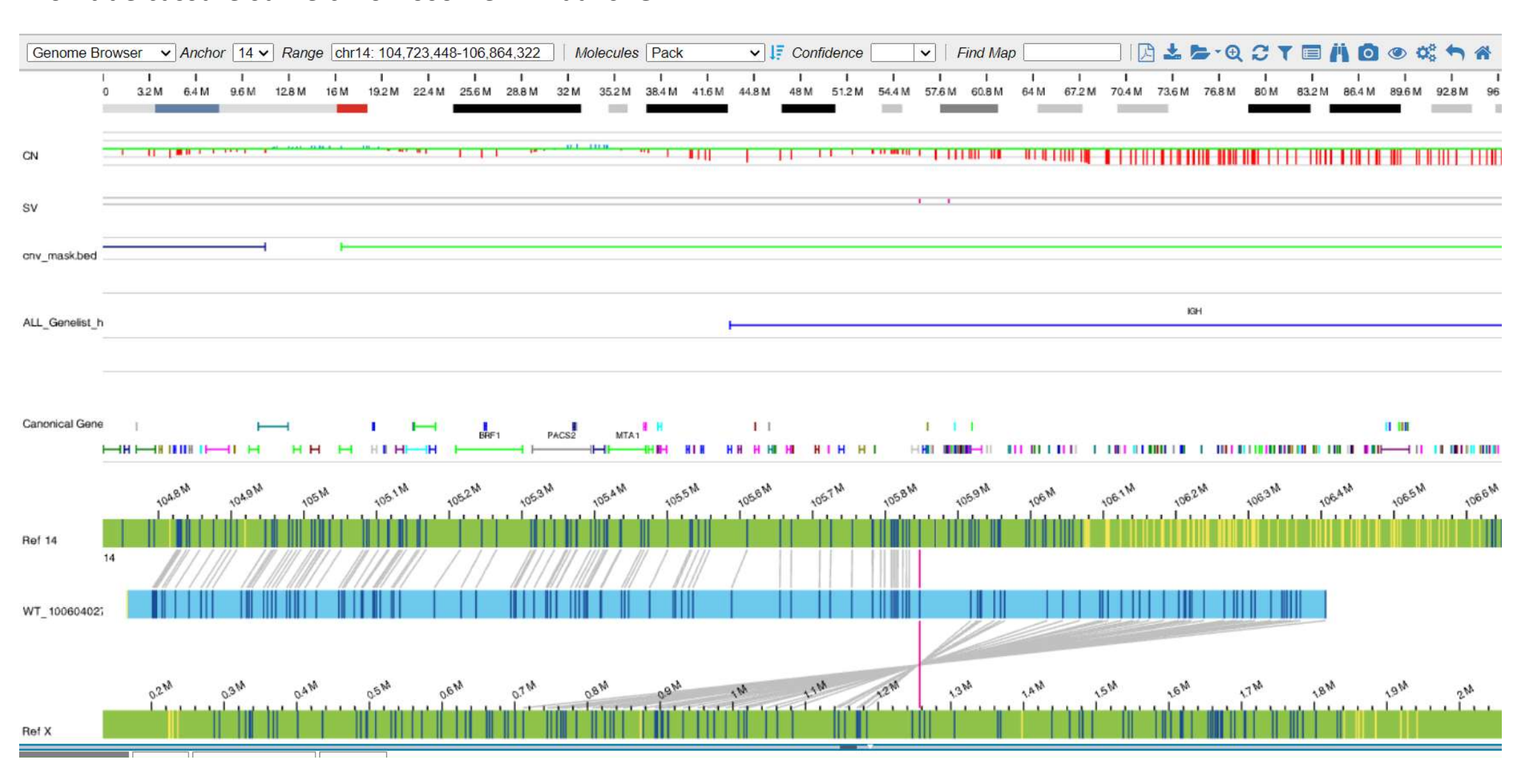
XL IGH (DC BA)[14q32, Metasystems]

Exemple 2: LAL-B: OGM: version 1.8.1: la fusion IGH::CRLF2 n'est toujours pas détectée

- Nous avons contacté Bionano Support
 => essayer la version 1.8.1 du logiciel Bionano Access : à vérifier pour ce cas après le passage.
- 21/09/2024 : avec la nouvelle version Access 1.8.1, la fusion IGH::CRLF2 n'est toujours pas détectée avec le RVP ni avec le De Novo.
- Pour vérifier si le Guided Assembly la détecterait.

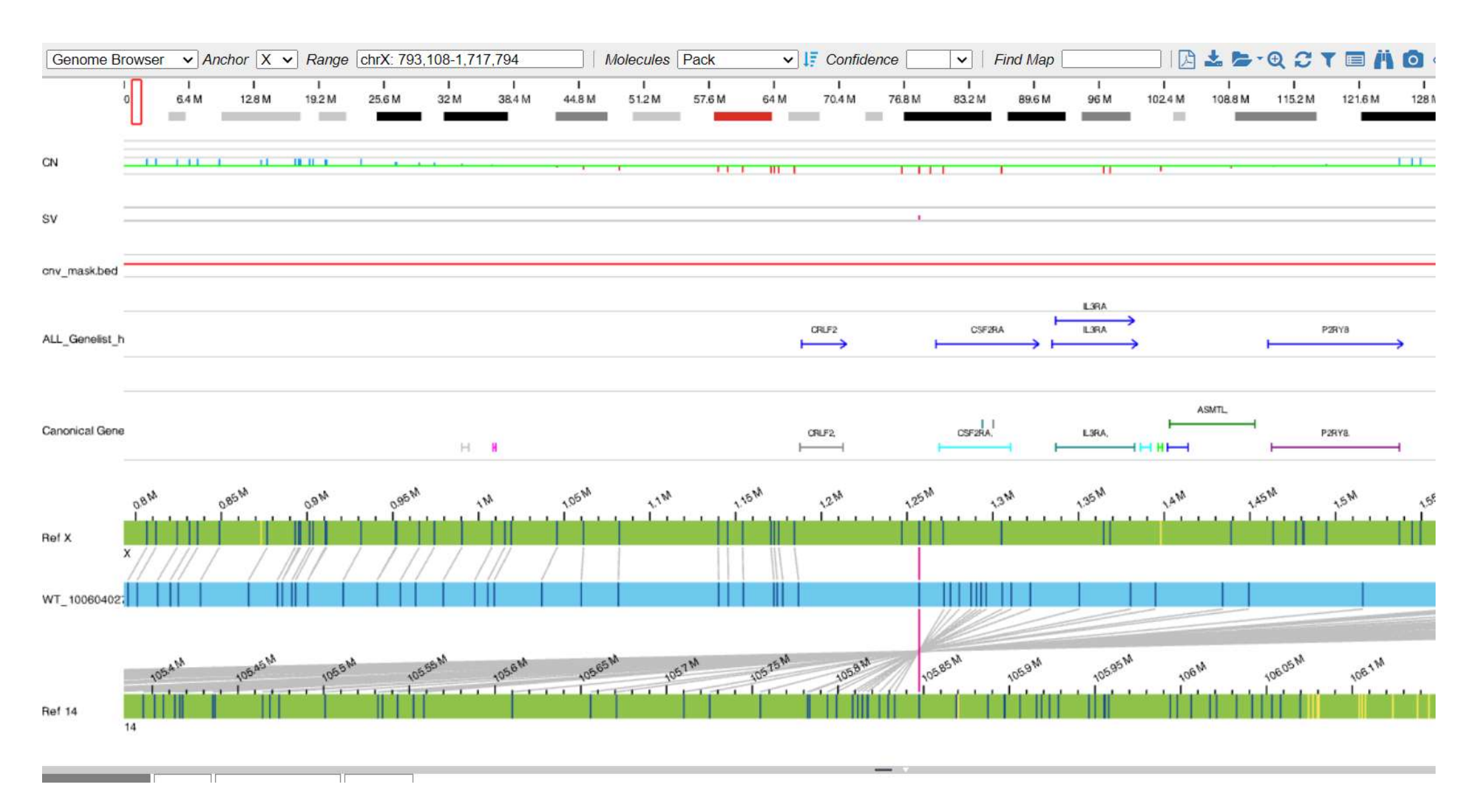
Exemple 2: LAL-B: OGM: Guided Assembly: la fusion IGH::CRLF2 est effectivement détectée

Point de cassure sur le chromosome 14 : dans IGH



Exemple 2: LAL-B: OGM: Guided Assembly: la fusion IGH::CRLF2 est effectivement détectée

Point de cassure sur le chromosome 14 : dans CRLF2



Exemple 2: LAL-B: OGM: Guided Assembly: la fusion IGH::CRLF2 est effectivement détectée

Néanmoins, l'OGM ne montre pas que la fusion est effectivement située sur le chromosome Y ... mais présente la fusion plus tôt sur le chromosome X

Ainsi, le fait que la fusion se produise avec le gène *CRLF2* sur le chromosome Y n'est visible qu'avec la FISH en métaphase

Conclusion

- OGM bonne technique pour le diagnostic des LAL et permet de tenir les délais de l'A2G
- Nécessité d'améliorer la détection de certains réarrangements:
- => Evaluation des « nouveaux » logiciels d'analyse
 - Access 1.8.2
 - Guided Assembly
 - VIA
- => Définir la combinaison d'algorithmes permettant une analyse optimale

Remerciements





Dr A. Daudigon

Dr P. Roynard

Pr C. Roche-Lestienne









Dr K. Rack

Dr J. De Bie

Dr G. Ameye

Dr J. Vanhevel

Pr L. Michaux

Dr F. Hsoumi

Dr H. Lazga

H. Mokrani

J. Gomez

S. Edery

Pr F. Delhommeau

Dr P. Ballerini

Pr H. Lapillonne

D. Jaber

L. Nguyen

E. Gay

M-C. Lenoir

C. Dulac

